

n 维欧几里得空间 \mathcal{E} 中的一个点 $X \in \mathcal{E}$, 只有在选择了某一恰当的坐标系后, 才可唯一对应于一个有序实数 n 元组 $(x_1, \dots, x_n) \in \mathbb{R}^n$, 作为这个点在这一个坐标系下的坐标。如果所选择的是直角坐标系, 那么点 X 的坐标是它的位置向量在 \mathcal{E} 的平移空间 $\mathcal{V}_{\mathcal{E}}$ 的一组规范正交基下的坐标。但是, 我们还可以在同一个欧几里得空间中建立各种曲线坐标系。我们将会看到, 在曲线坐标系下, X 仍可唯一对应于一个有序实数 n 元组, 但曲线坐标系下的坐标与直角坐标系下的坐标之间的变换法则, 并非向量空间下的基变换规律。因此, 仅按 §?? 知识是无法解决的。

正式地, 设 \mathcal{E} 是一个 n 维欧几里得空间, $\mathcal{V}_{\mathcal{E}}$ 是 \mathcal{E} 的平移空间, \mathcal{E} 的基本直角坐标系是 $(O, \{\hat{\mathbf{e}}_i\})$, \mathcal{E} 中的每个点 $X \in \mathcal{E}$ 就已经唯一地对应 \mathbb{R}^n 中的一个元素 (x_1, \dots, x_n) 作为它在这个直角坐标系下的坐标。一个恰当地建立的曲线坐标系 (*curvilinear coordinate system*), 也能使 \mathcal{E} 中的每个点 X 唯一地对应于 \mathbb{R}^n 中的一个元素 $(u_1, \dots, u_n) \in \mathbb{R}^n$, 作为它在这个曲线坐标系下的坐标。在直角坐标系, 从 \mathcal{E} 到 \mathbb{R}^n 的对应关系是双射。而一个恰当的曲线坐标系, 首先应能保证每个 $X \in \mathcal{E}$ 都能唯一对应一个不同的 $(u_1, \dots, u_n) \in \mathbb{R}^n$ (单射), 但就不一定是一个满射了。我们把曲线坐标系下, 所有欧几里得空间的点的坐标的集合记为 $\mathcal{U} \subseteq \mathbb{R}^n$, 称为曲线坐标系的参数域。直角坐标系作为一个特殊的曲线坐标系, 它的参数域 $\mathcal{U} = \mathbb{R}^n$ 。设由 \mathcal{U} 到 \mathbb{R}^n 的双射 $T: \mathbb{R}^n \supset \mathcal{U} \rightarrow \mathbb{R}^n$ 把同一个点 $X \in \mathcal{E}$ 的曲线坐标 $(u_1, \dots, u_n) \in \mathcal{U}$ 映射其原点相同的直角坐标系下的坐标 $(x_1, \dots, x_n) \in \mathbb{R}^n$ 。我们不失一般性地再规定, 我们所讨论的任一曲线坐标系的映射 T 是至少一阶连续可微的。例??以我们以前所熟悉的 3 维欧几里得空间下的柱坐标系和球坐标系为例, 给出了这两个曲线坐标系下的映射 T 。请注意为了保证 T 的双射性所做的仔细讨论。

例 0.1 (柱坐标系与球坐标系的参数域映射). 设 \mathcal{E} 是 3 维欧几里得空间, $O \in \mathcal{E}$ 是选定的原点。记任一点 X 的直角坐标系坐标是 (x, y, z) , 柱坐标系 (*cylindrical coordinate system*) 的坐标是 (ρ, φ, z) , 球坐标系 (*spherical coordinate system*) 的坐标是 (r, ϑ, φ) (图 0.1)。

记柱坐标系的参数域 $\mathcal{U}_{\text{cyl}} = \{(\rho, \varphi, z) \in \mathbb{R}^3 | \rho \geq 0, \varphi \in [0, 2\pi), z \in \mathbb{R}\}$, 可定义映射 $T_{\text{cyl}}: \mathcal{U}_{\text{cyl}} \rightarrow \mathbb{R}^3$,

$$(x, y, z) = T_{\text{cyl}}(\rho, \varphi, z) = \begin{cases} (\rho \cos \varphi, \rho \sin \varphi, z), & \rho > 0 \\ (0, 0, 0), & \rho = 0 \end{cases}$$

T_{cyl} 是双射, 简单证明如下。若 $\rho \neq 0$ 且 $T_{\text{cyl}}(\rho, \varphi, z) = T_{\text{cyl}}(\rho', \varphi', z)$, 则有 $\tan \varphi = \tan \varphi'$, 即 $\varphi = \varphi'$ 或 $\varphi = \varphi' + \pi$ 。易知当 $\varphi = \varphi' + \pi$ 时 $\rho = \rho' = 0$, 与假设矛盾, 故有且仅有 $\varphi = \varphi'$ 。若 $\rho = 0$, 则 $\varphi = 0$, 按条件有且仅有 $\rho' = 0$ 且 $\varphi' = 0$ 。因此 T_{cyl} 是单射。若 $(x, y) \neq (0, 0)$, 则只要令 $\rho = \sqrt{x^2 + y^2}$, $\varphi = \text{atan2}(x, y)$, 即可得到 $(x, y) = T_{\text{cyl}}(\rho, \varphi, z)$; 当 $(x, y) = (0, 0)$ 时, 只要令 $\rho = \sqrt{x^2 + y^2}$, $\varphi = 0$, 即可得到 $(x, y) = T_{\text{cyl}}(\rho, \varphi, z)$ 。因此 T_{cyl} 是满射。因此

T_{cyl} 是双射。

上一段出现的双变量反正切函数 $\text{atan2} : \mathbb{R}^2 \setminus \{(0, 0)\} \rightarrow [0, 2\pi)$, 是一个常用的函数, 定义为

$$\text{atan2}(x, y) = \begin{cases} \text{Arctan}\left(\frac{x}{y}\right), & y > 0, x \geq 0 \\ \text{Arctan}\left(\frac{x}{y}\right) + 2\pi, & y > 0, x < 0 \\ \text{Arctan}\left(\frac{x}{y}\right) + \pi, & y < 0 \\ \frac{\pi}{2}, & y = 0, x > 0 \\ \frac{3\pi}{2}, & y = 0, x < 0 \end{cases}$$

其中 Arctan 表示反正切主值函数, 其值域是 $(-\frac{\pi}{2}, \frac{\pi}{2})$ 。 T_{cyl} 的逆映射 T_{cyl}^{-1} 可表示为

$$(\rho, \varphi, z) = T^{-1}(x, y, z) = \begin{cases} \left(\sqrt{x^2 + y^2}, \text{atan2}(x, y), z\right), & (x, y) \neq (0, 0) \\ (0, 0, z), & (x, y) = (0, 0) \end{cases}$$

记球坐标系的参数域 $\mathcal{U}_{\text{sph}} = \{(r, \vartheta, \varphi) \in \mathbb{R}^3 \mid r \geq 0, \vartheta \in [0, 2\pi), \varphi \in [0, \pi]\}$, 可定义映射 $T_{\text{sph}} : \mathcal{U}_{\text{sph}} \rightarrow \mathbb{R}^3$,

$$(x, y, z) = T_{\text{sph}}(r, \vartheta, \varphi) = \begin{cases} (r \sin \vartheta \cos \varphi, r \sin \vartheta \sin \varphi, r \cos \vartheta), & r > 0 \\ (0, 0, 0), & r = 0 \end{cases}$$

用类似之前的方法可证明 T_{sph} 是双射, 需且只需取其逆映射为

$$(r, \vartheta, \varphi) = T_{\text{sph}}^{-1}(x, y, z) = \begin{cases} \left(\sqrt{x^2 + y^2 + z^2}, \text{atan2}(x, y), \text{Arccos}\left(\frac{z}{\sqrt{x^2 + y^2 + z^2}}\right)\right), & (x, y) \neq (0, 0) \\ (0, 0, 0), & (x, y) = (0, 0) \end{cases}$$

还可以证明的是, T_{cyl} 和 T_{sph} 在它们的定义域上处处都是一阶连续可微的。

记 T 的雅可比矩阵是

$$J \equiv (DT) = \begin{pmatrix} \frac{\partial x_1}{\partial u_1} & \cdots & \frac{\partial x_1}{\partial u_n} \\ \vdots & \ddots & \vdots \\ \frac{\partial x_n}{\partial u_1} & \cdots & \frac{\partial x_n}{\partial u_n} \end{pmatrix}$$

由于 T 是双射且连续可微, 由反函数定理??, J 是可逆的, 其各列之间线性无关。记以 J 各列作为基 $\{\hat{\mathbf{e}}_i\}$ 下的坐标的 $\mathcal{V}_{\mathcal{E}}$ 中的向量为 $\mathbf{c}_i, i = 1, \dots, n$, 即 $\mathbf{c}_i = \sum_{j=1}^n J_{ij} \hat{\mathbf{e}}_j = \sum_{j=1}^n \partial x_j / \partial u_i \hat{\mathbf{e}}_j, i = 1, \dots, n$ 。则 $\{\mathbf{c}_i\}$ 是 $\mathcal{V}_{\mathcal{E}}$ 线性无关向量组, 那么它就是 $\mathcal{V}_{\mathcal{E}}$ 的基。 $\{\hat{\mathbf{c}}_i\}, \hat{\mathbf{c}}_i = \mathbf{c}_i / \|\mathbf{c}_i\|, i = 1, \dots, n$ 就是 $\mathcal{V}_{\mathcal{E}}$ 的规范正交基。我们把 $\{\hat{\mathbf{c}}_i\}$ 称为曲线坐标系的基, 把 $h_i = \|\mathbf{c}_i\|^{-1}$ 称为曲线坐标系的拉梅系数 (*Lamé coefficients*)。如果 $\{\hat{\mathbf{c}}_i\}$ 两两正交, 那么这个曲线坐标系称为正交曲线坐标

系 (*orthogonal curvilinear coordinate*)。曲线坐标系的基的内积 $g_{ij} = (\mathbf{c}_i | \mathbf{c}_j)$, $i, j = 1, \dots, n$ 称为该曲线坐标系的度量张量 (*metrix tensor*), 虽称为张量, 但其实 g_{ij} 只是组成了一个对称矩阵。特别地, 对于直角坐标系, $g_{ij} = \delta_{ij}$ 。

在这里需要注意两件事。第一, 我们所讨论的映射 T 是关于同一个点 X 的坐标之间的映射, 一般地偏导数 $\partial x_j / \partial u_i$ 依赖点 X 的变化而变化, 因此 $\{\hat{\mathbf{c}}_i\}$ 不是 $\mathcal{V}_\mathcal{E}$ 的常向量基。同理 h_i 也是点 X 的函数。第二, 虽然点 X 在直角坐标系下的坐标 (x_1, \dots, x_n) 恰好满足 $\mathbf{r}_X = \sum_{i=1}^n x_i \hat{\mathbf{e}}_i$, 但其在曲线系下的坐标 (u_1, \dots, u_n) 一般不满足 $\mathbf{r}_X = \sum_{i=1}^n u_i \hat{\mathbf{c}}_i$ 。这是因为映射 T 一般不是线性的。作为一般讨论, 我们记点 X 在曲线坐标系的基下的坐标为 (x_1^c, \dots, x_n^c) , 即 $\mathbf{r}_X = \sum_{i=1}^n x_i^c \hat{\mathbf{c}}_i$ 。在每个点 X 处, 仍然可以使用基变换与坐标变换公式来联系 (x_1, \dots, x_n) 和 (x_1^c, \dots, x_n^c) 。记由 $\{\hat{\mathbf{e}}_i\}$ 到 $\{\hat{\mathbf{c}}_i\}$ 的过渡矩阵是 S , 则基变换公式是

$$\begin{aligned}\hat{\mathbf{c}}_i &= \sum_j S_{ji} \hat{\mathbf{e}}_j, \\ \hat{\mathbf{e}}_i &= \sum_j S_{ji}^{\text{inv}} \hat{\mathbf{c}}_j, \quad i = 1, \dots, n\end{aligned}$$

与 $\hat{\mathbf{c}}_i$ 的表达式比较, 可知

$$S_{ij} = h_j^{-1} \frac{\partial x_i}{\partial u_j}, \quad i, j = 1, \dots, n$$

即矩阵 S 也是依赖点 X 变化的。坐标变换公式是

$$\begin{aligned}x_i &= \sum_j S_{ij} x_j^c, \\ x_i^c &= \sum_j S_{ij}^{\text{inv}} x_j, \quad i = 1, \dots, n\end{aligned}$$

例 0.2 (柱坐标系的基和几何图象). T_{cyl} 的雅可比矩阵是 J_{cyl} 是

$$J_{\text{cyl}} = \begin{pmatrix} \cos \varphi & -\rho \sin \varphi & 0 \\ \sin \varphi & \rho \cos \varphi & 0 \\ 0 & 0 & 1 \end{pmatrix}$$

柱坐标的拉梅系数是 $h_\rho = 1, h_\varphi = \rho, h_z = 1$ 。过渡矩阵 S_{cyl} 是

$$S_{\text{cyl}} = \begin{pmatrix} \cos \varphi & -\sin \varphi & 0 \\ \sin \varphi & \cos \varphi & 0 \\ 0 & 0 & 1 \end{pmatrix}$$

柱坐标的基与直角坐标系的基的关系是

$$\begin{aligned}\hat{\mathbf{e}}_\rho &= \cos \varphi \hat{\mathbf{e}}_x + \sin \varphi \hat{\mathbf{e}}_y, \\ \hat{\mathbf{e}}_\varphi &= -\sin \varphi \hat{\mathbf{e}}_x + \cos \varphi \hat{\mathbf{e}}_y, \\ \hat{\mathbf{e}}_z &= \hat{\mathbf{e}}_z\end{aligned}$$

位置向量在柱坐标系的基下的坐标是

$$\mathbf{r}_X = \rho \hat{\mathbf{e}}_\rho + z \hat{\mathbf{e}}_z$$

我们发现，位置向量在 $\hat{\mathbf{e}}_\varphi$ 方向上的投影总是零。诚然，如图 0.1 所示， \mathbf{r}_X 总是与 $\hat{\mathbf{e}}_\varphi$ 正交的。

T_{sph} 的雅可比矩阵是 J_{sph} 是

$$J_{\text{sph}} = \begin{pmatrix} \sin \vartheta \cos \varphi & r \cos \vartheta \cos \varphi & -r \sin \vartheta \sin \varphi \\ \sin \vartheta \sin \varphi & r \cos \vartheta \sin \varphi & r \sin \vartheta \cos \varphi \\ \cos \vartheta & -r \sin \vartheta & 0 \end{pmatrix}$$

球坐标的拉梅系数是 $h_r = 1, h_\vartheta = r, h_\varphi = r \sin \vartheta$ 。过渡矩阵是

$$S_{\text{sph}} = \begin{pmatrix} \sin \vartheta \cos \varphi & \cos \vartheta \cos \varphi & -\sin \varphi \\ \sin \vartheta \sin \varphi & \cos \vartheta \sin \varphi & \cos \varphi \\ \cos \vartheta & -\sin \vartheta & 0 \end{pmatrix}$$

球坐标的基与直角坐标系的基的关系是

$$\begin{aligned} \hat{\mathbf{e}}_r &= \sin \vartheta \cos \varphi \hat{\mathbf{e}}_x + \sin \vartheta \sin \varphi \hat{\mathbf{e}}_y + \cos \vartheta \hat{\mathbf{e}}_z, \\ \hat{\mathbf{e}}_\vartheta &= \cos \vartheta \cos \varphi \hat{\mathbf{e}}_x + \cos \vartheta \sin \varphi \hat{\mathbf{e}}_y - \sin \vartheta \hat{\mathbf{e}}_z, \\ \hat{\mathbf{e}}_\varphi &= -\sin \varphi \hat{\mathbf{e}}_x + \cos \varphi \hat{\mathbf{e}}_y \end{aligned}$$

位置向量在球坐标系的基下的坐标是

$$\mathbf{r}_X = r \hat{\mathbf{e}}_r$$

我们发现，位置向量在 $\hat{\mathbf{e}}_\vartheta$ 和 $\hat{\mathbf{e}}_\varphi$ 方向上的投影总是零。诚然，如图 0.1 所示， \mathbf{r}_X 总是与 $\hat{\mathbf{e}}_\vartheta$ 和 $\hat{\mathbf{e}}_\varphi$ 正交的。

0.1 场函数的导数

设 $f: \mathcal{D} \subseteq \mathcal{N} \rightarrow \mathcal{F}$ 是定义在 \mathcal{D} 的子集 \mathcal{N} 上的函数。也就是说，函数 T 定义了一个参数方程规定的 n 维空间区域 \mathcal{D} ，而 f 是 \mathcal{D} 内的一个场函数。若 $\mathbf{x} \in \mathcal{N}$ ，则 $f(\mathbf{x}) \in \mathcal{F}$ 。在之前的讨论中我们已经知道，有了双射 T ，我们就能用参数 $\mathbf{u} \in \mathcal{U}$ 来表示 \mathcal{D} 中的位置，故可记 $f^u(\mathbf{u}) \equiv f(T(\mathbf{u}))$ 。 f^u 与 f 的函数表达式一般是不同的（除了 T 是恒等映射的平凡情况），但在实际常见的惯例中常常不加区分地把 f^u 也记成 f 。在后面的例子中我们将看到更多惯例问题。所幸 f^u 与 f 是同属于一个空间 \mathcal{F} 的元素。这里的 \mathcal{F} 可以是一个标量、向量或张量的空间。

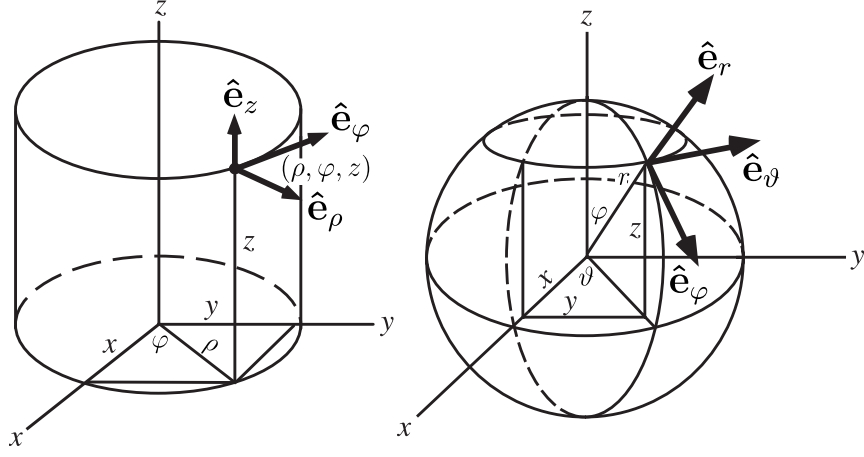


图 0.1: 柱坐标系和球坐标系的基和几何图象

我们考虑位置向量的微分 $d\mathbf{x}$, 如果把它写成坐标微元的向量: $d\mathbf{x} = \sum_{i=1}^3 dx_i \hat{\mathbf{e}}_i$, 则由函数微分定义有 $d\mathbf{x} = \sum_{i=1}^n \sum_{j=1}^n \frac{\partial x_i}{\partial u_j} du_j \hat{\mathbf{e}}_i = \sum_{j=1}^n \hat{\mathbf{c}}_j h_j du_j$ 。视 $\hat{\mathbf{c}}_i$ 为另一组基的时, 可进一步记为

$$d\mathbf{x} = \sum_{i=1}^n dx_i^c \hat{\mathbf{c}}_i, \quad dx_i^c = h_i du_i, i = 1, \dots, n$$

这个关系后面会用到。

f 在点 \mathbf{x}_0 处的导数是 $\left. \frac{df(\mathbf{x})}{d\mathbf{x}} \right|_{\mathbf{x}=\mathbf{x}_0}$ 。但在使用曲线坐标讨论问题时, 我们经常已知的是 $\mathbf{u} \in \mathcal{U}$ 和 $f^u(\mathbf{u})$, 可直接计算的导数是 $\left. \frac{df^u(\mathbf{u})}{d\mathbf{u}} \right|_{\mathbf{u}=\mathbf{u}(\mathbf{x}_0)}$, 但这并非性质场 f 在 \mathcal{D} 空间上的导数, 应用时不能直接拿去作用于 \mathcal{D} 空间上的位移向量。我们希望得到的是空间 \mathcal{D} 上的函数导数在曲线坐标系的基 $\{\hat{\mathbf{c}}_i\}$ 下的坐标矩阵, 它可以作用于微元 $d\mathbf{x}$ 在相同基下的矩阵 $(dx_1^c, \dots, dx_n^c)^\top$ 。我们从以下等式关系出发

$$df(\mathbf{x}_0) = df^u(\mathbf{u}(\mathbf{x}_0))$$

等式左边:

$$\begin{aligned} df(\mathbf{x}_0) &= \mathbf{L}_{\mathbf{x}_0} d\mathbf{x} \\ &= \left(\left. \frac{\partial f(\mathbf{x})}{\partial x_1} \right|_{\mathbf{x}=\mathbf{x}_0} \dots \left. \frac{\partial f(\mathbf{x})}{\partial x_n} \right|_{\mathbf{x}=\mathbf{x}_0} \right) \begin{pmatrix} dx_1 \\ \vdots \\ dx_n \end{pmatrix} \end{aligned} \quad \text{这是在基 } \{\hat{\mathbf{e}}_i\} \text{ 下的坐标式。}$$

其中 $\mathbf{L}_{\mathbf{x}_0} \equiv \left. \frac{df(\mathbf{x})}{d\mathbf{x}} \right|_{\mathbf{x}=\mathbf{x}_0}$ 是函数 $\mathbf{f}(\mathbf{x})$ 在点 \mathbf{x}_0 处的导数。等式右边：

$$\begin{aligned} df^u(\mathbf{u}(\mathbf{x}_0)) &= \mathbf{L}_{\mathbf{u}(\mathbf{x}_0)}^u d\mathbf{u} \quad \mathbf{L}_{\mathbf{u}(\mathbf{x}_0)}^u \text{ 是空间 } \mathcal{U} \text{ 上的线性变换。} \\ &= \left(\left. \frac{\partial f^u(\mathbf{u})}{\partial u_1} \right|_{\mathbf{u}=\mathbf{u}(\mathbf{x}_0)} \cdots \left. \frac{\partial f^u(\mathbf{u})}{\partial u_n} \right|_{\mathbf{u}=\mathbf{u}(\mathbf{x}_0)} \right) \begin{pmatrix} du_1 \\ \vdots \\ du_n \end{pmatrix} \end{aligned}$$

这是在空间 \mathcal{U} 中的基 $\{\hat{\mathbf{f}}_i\}$ 下的坐标式。

$$\begin{aligned} &= \left(\left. \frac{\partial f^u(\mathbf{u})}{\partial u_1} \right|_{\mathbf{u}=\mathbf{u}(\mathbf{x}_0)} \cdots \left. \frac{\partial f^u(\mathbf{u})}{\partial u_n} \right|_{\mathbf{u}=\mathbf{u}(\mathbf{x}_0)} \right) \begin{pmatrix} h_1^{-1} h_1 du_1 \\ \vdots \\ h_n^{-1} h_n du_n \end{pmatrix} \\ &= \left(h_1^{-1} \left. \frac{\partial f^u(\mathbf{u})}{\partial u_1} \right|_{\mathbf{u}=\mathbf{u}(\mathbf{x}_0)} \cdots h_n^{-1} \left. \frac{\partial f^u(\mathbf{u})}{\partial u_n} \right|_{\mathbf{u}=\mathbf{u}(\mathbf{x}_0)} \right) \begin{pmatrix} dx_1^c \\ \vdots \\ dx_n^c \end{pmatrix} \end{aligned}$$

这是在空间 \mathcal{D} 中的基 $\{\hat{\mathbf{c}}_i\}$ 下的坐标式。

比较可知， $\mathbf{L}_{\mathbf{x}_0}$ 在基 $\{\hat{\mathbf{c}}_i\}$ 下的矩阵就是

$$\left(h_1^{-1} \left. \frac{\partial f^u(\mathbf{u})}{\partial u_1} \right|_{\mathbf{u}=\mathbf{u}(\mathbf{x}_0)} \cdots h_n^{-1} \left. \frac{\partial f^u(\mathbf{u})}{\partial u_n} \right|_{\mathbf{u}=\mathbf{u}(\mathbf{x}_0)} \right)$$